

1/19

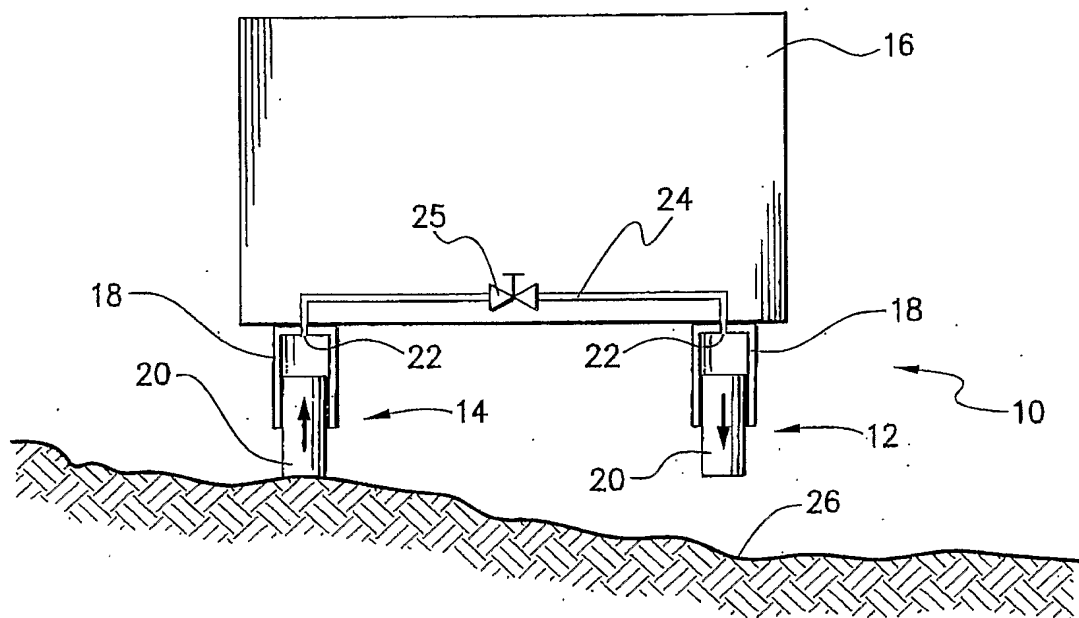


Fig. 1A

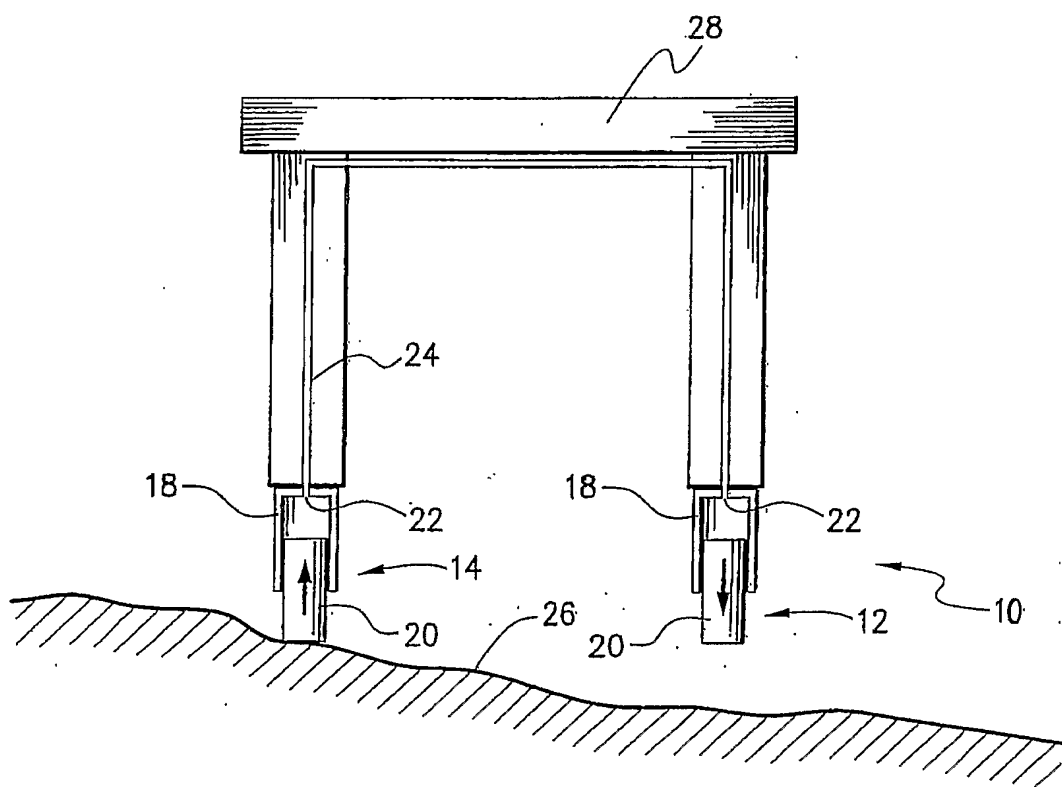


Fig. 1B

2/19

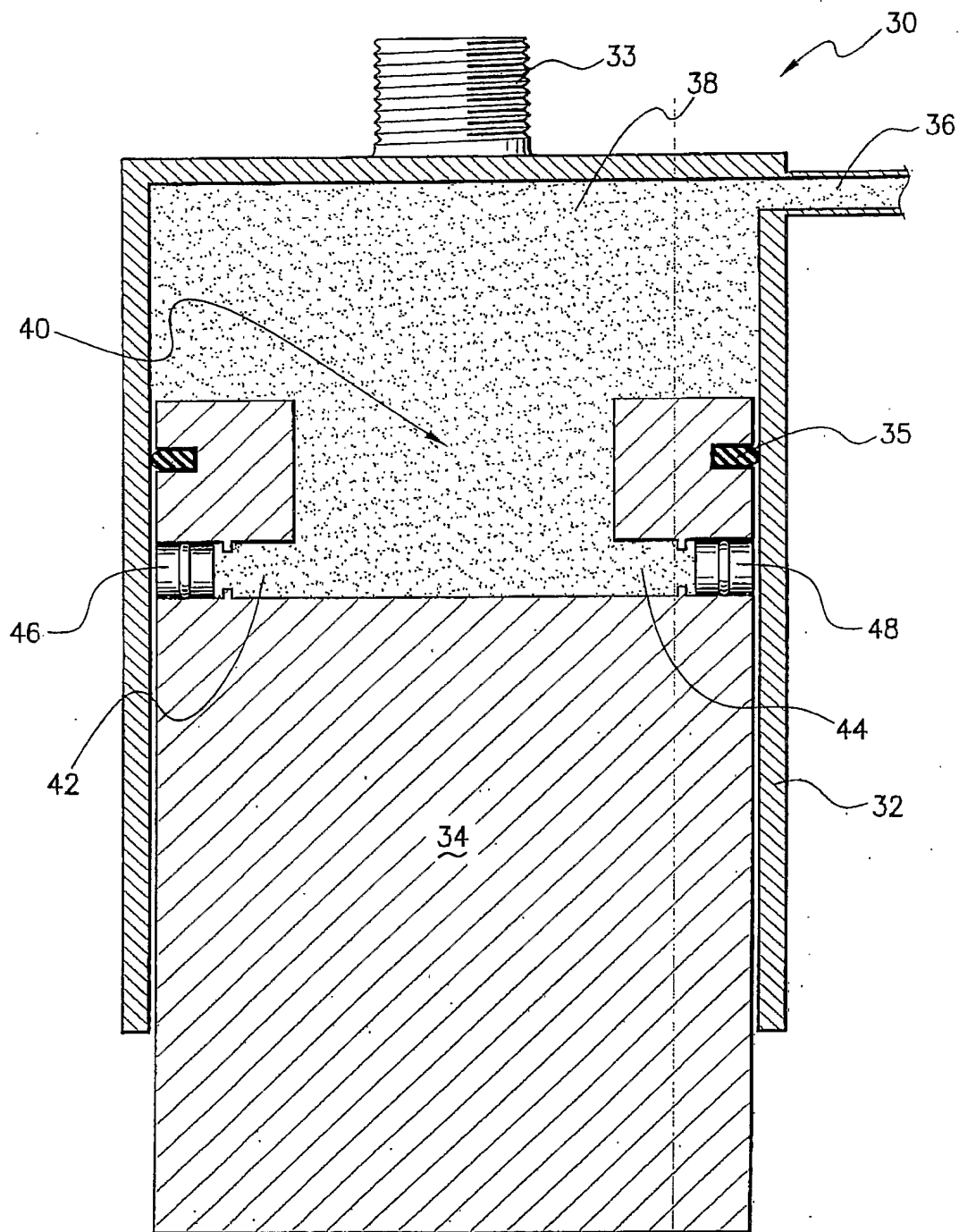


Fig. 2

3/19

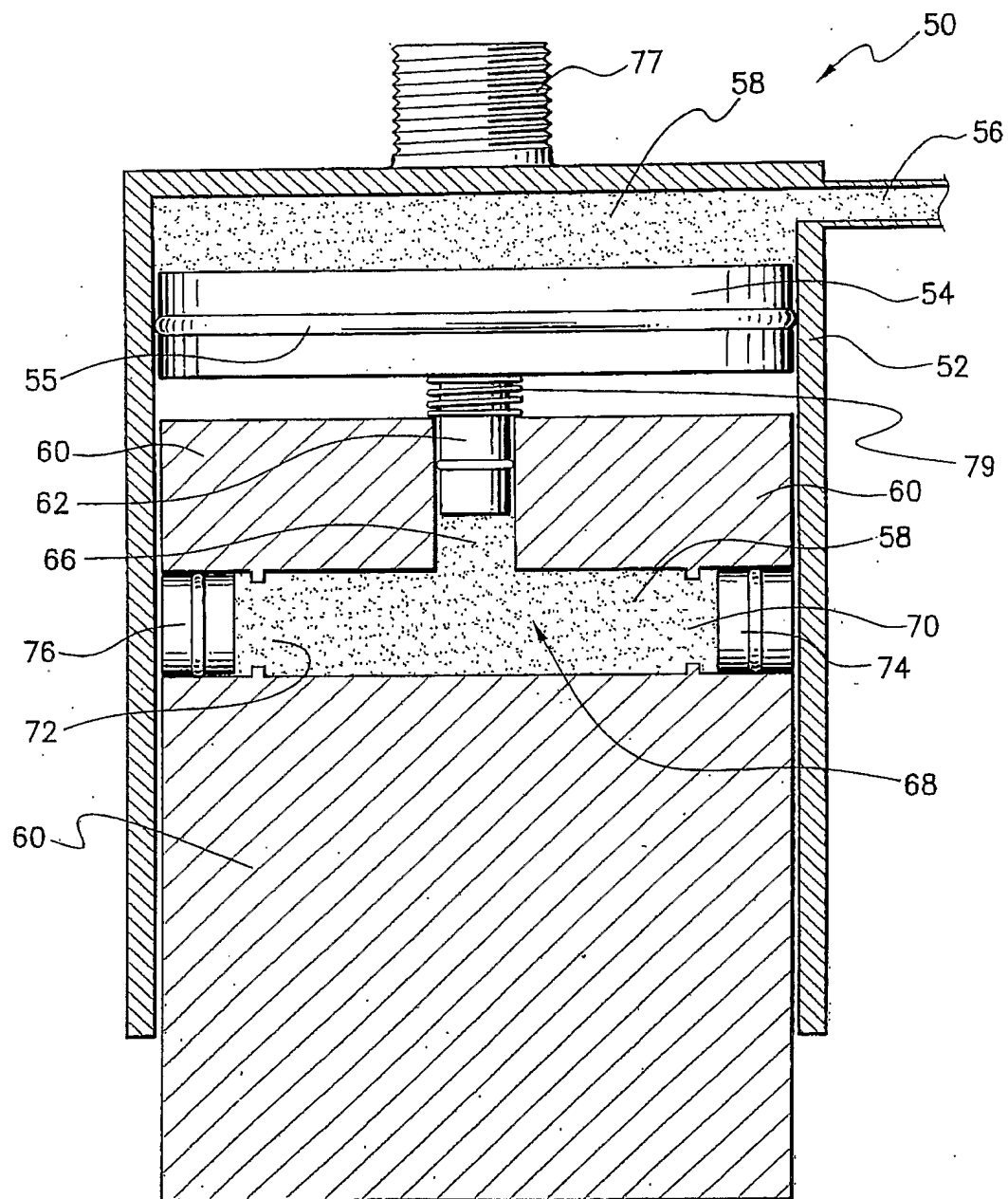


Fig. 3

4/19

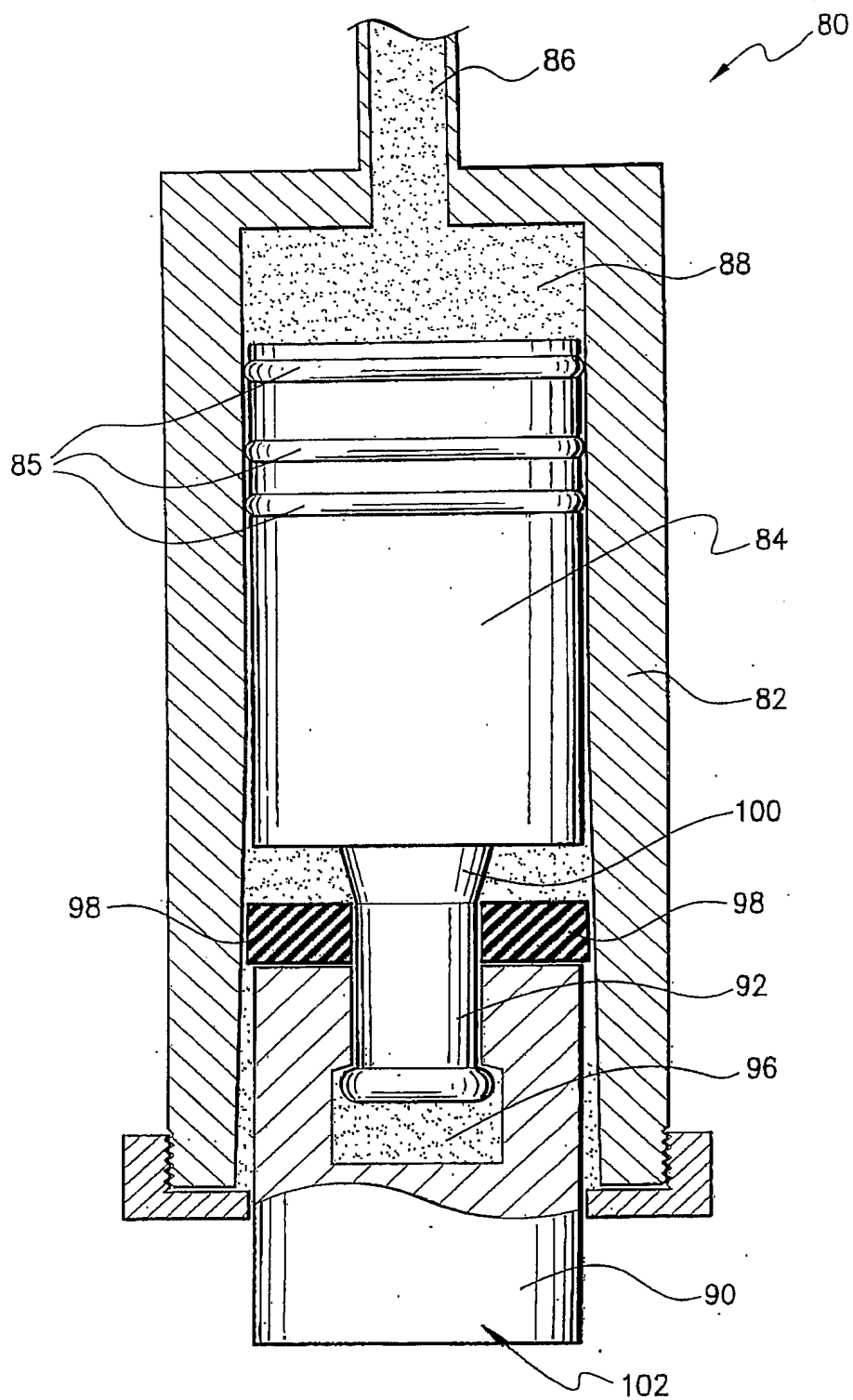


Fig. 4

5/19

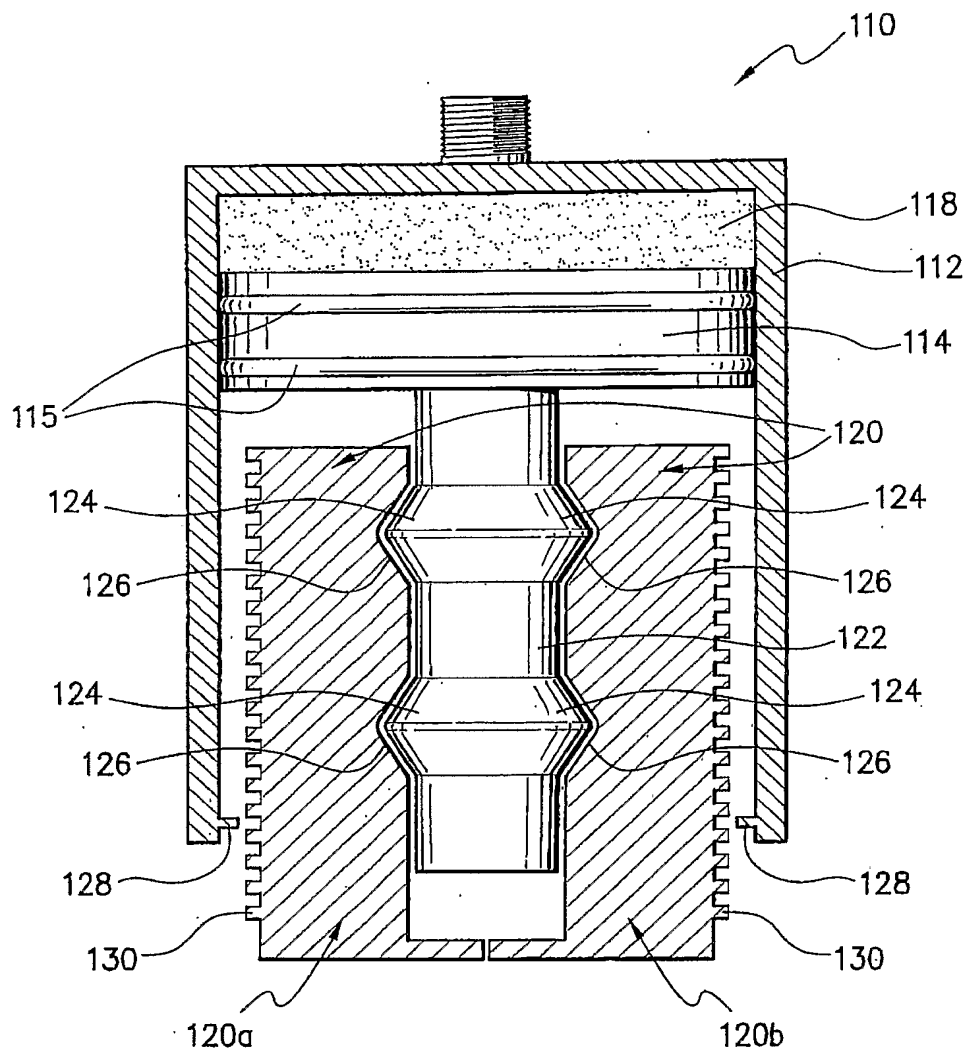


Fig. 5

6/19

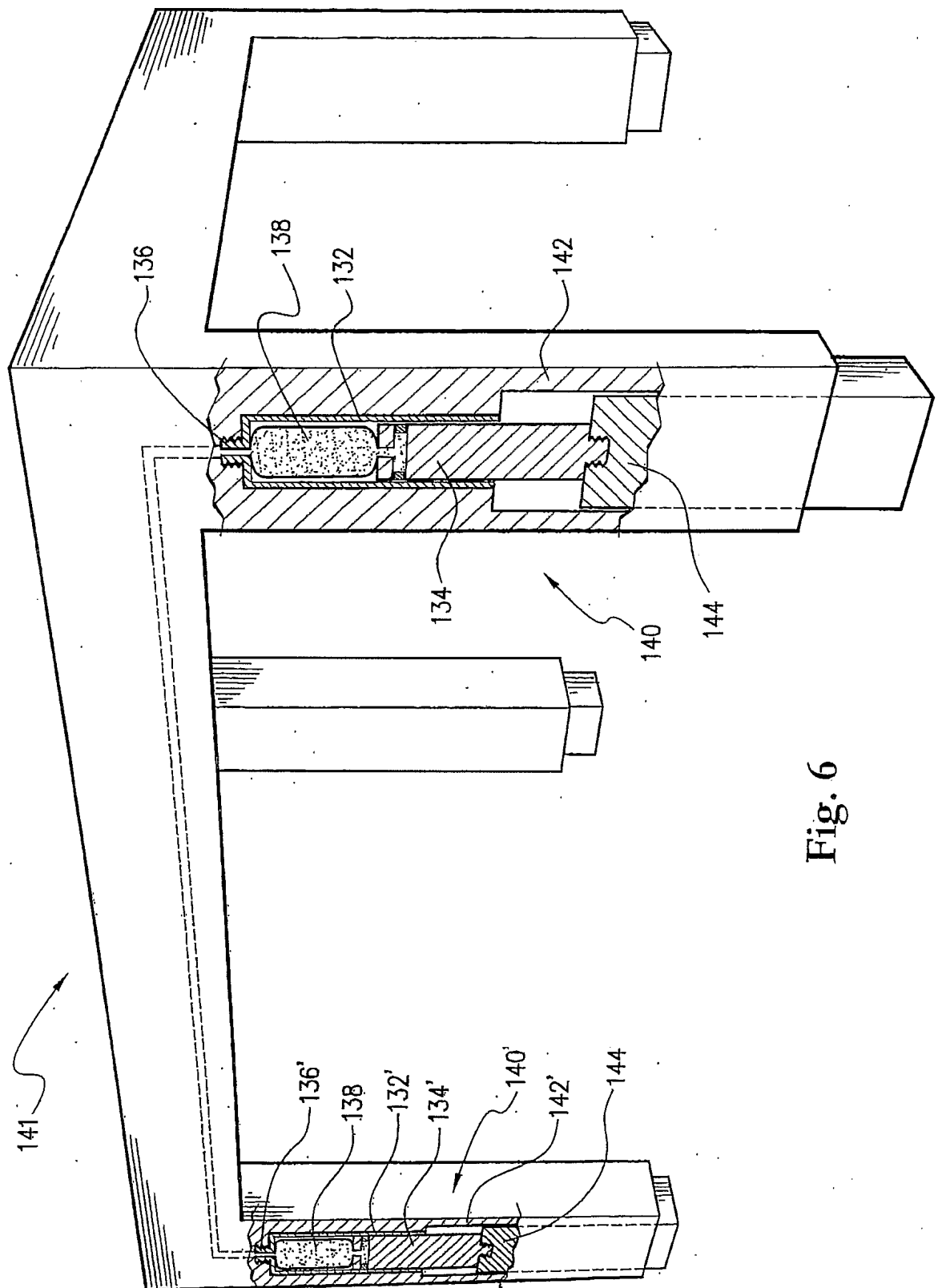
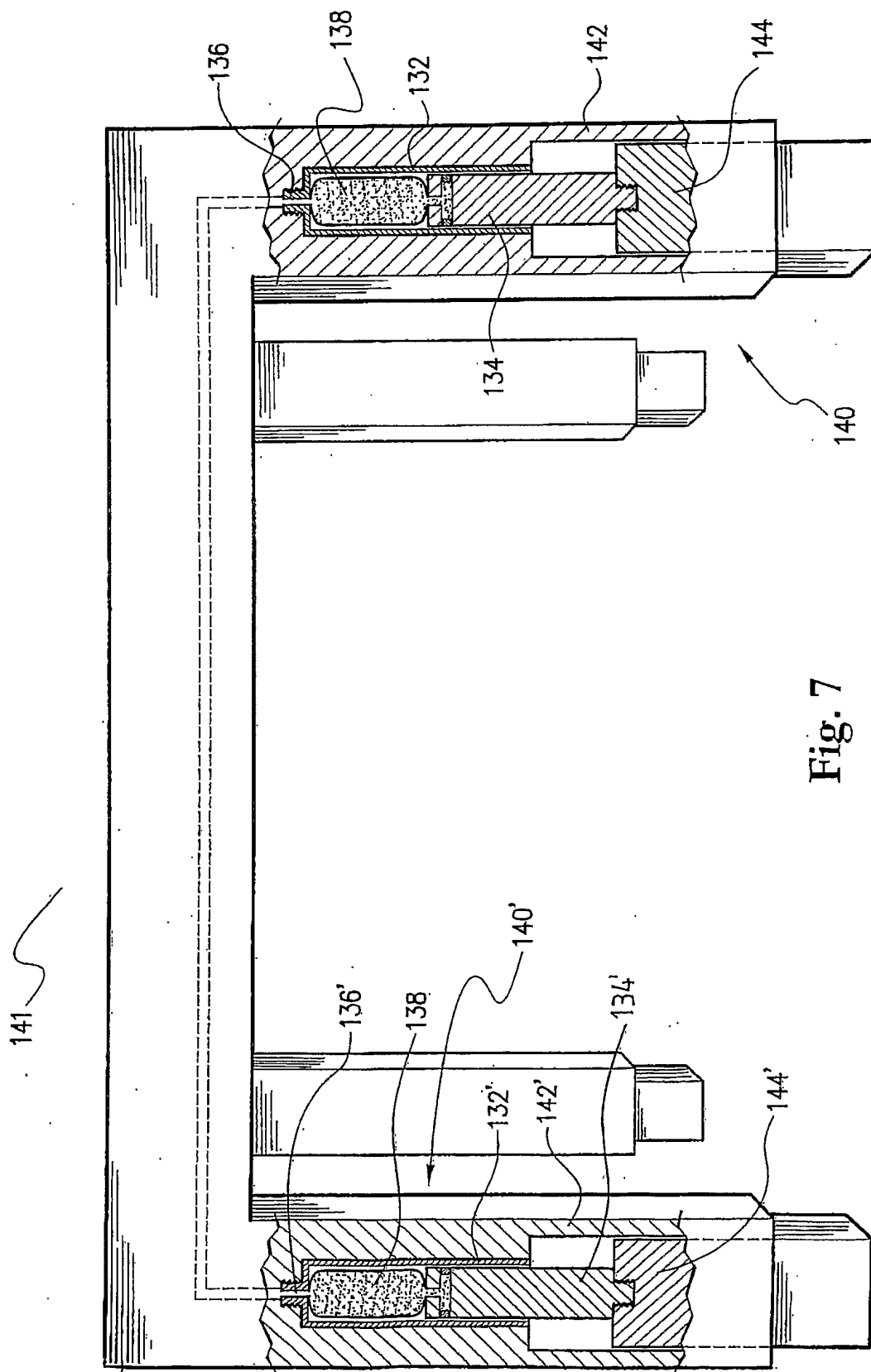


Fig. 6

7/19



8/19

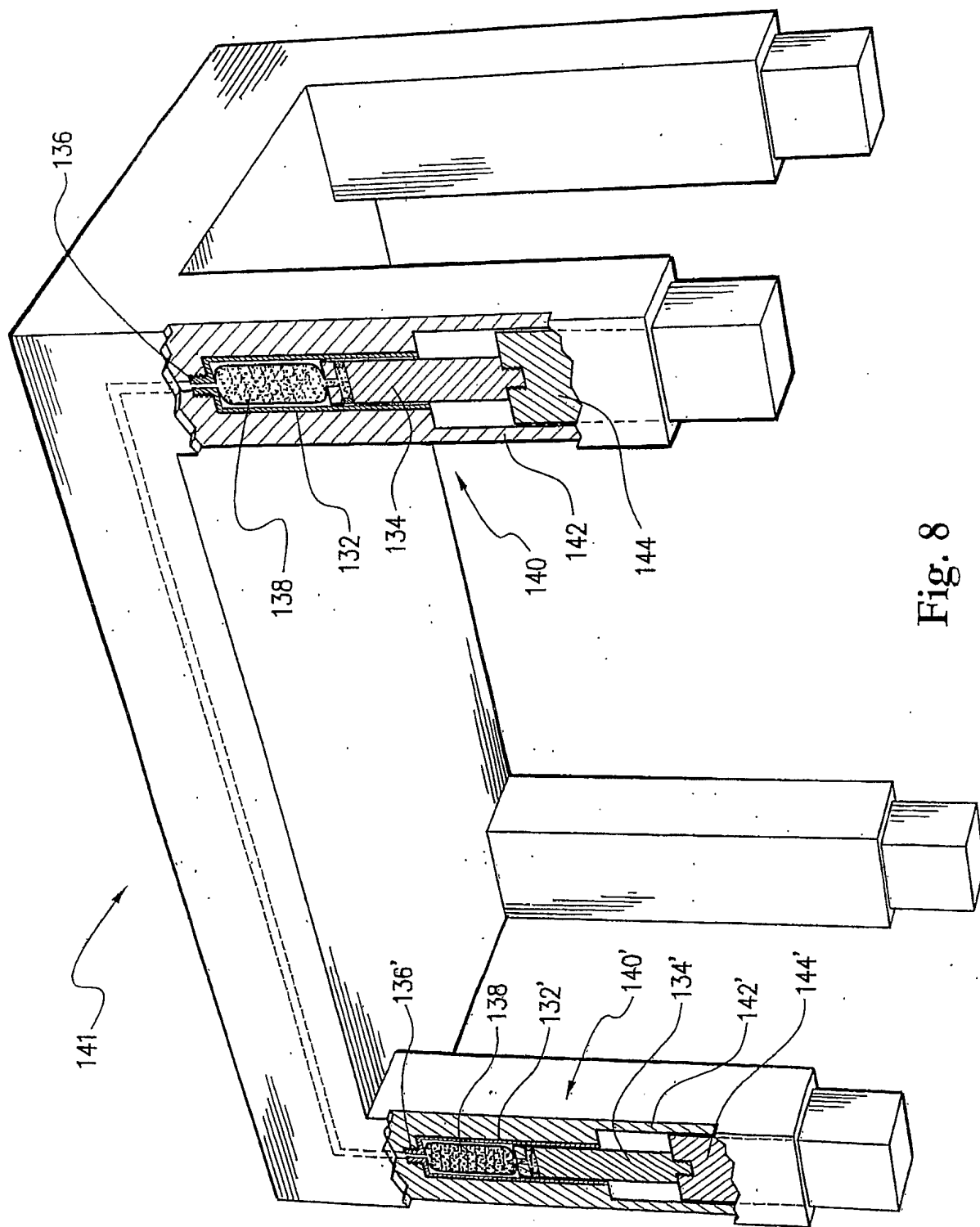


Fig. 8

9/19

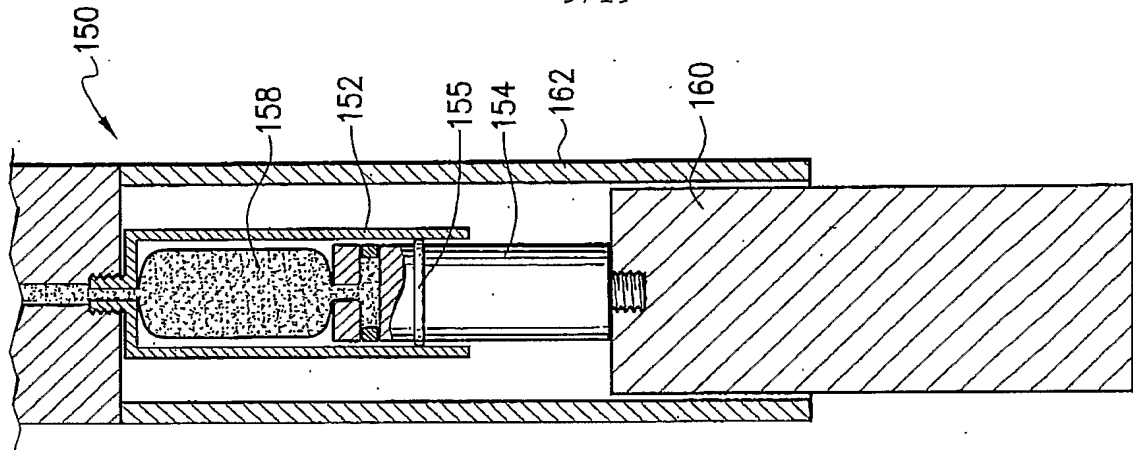


Fig. 10B

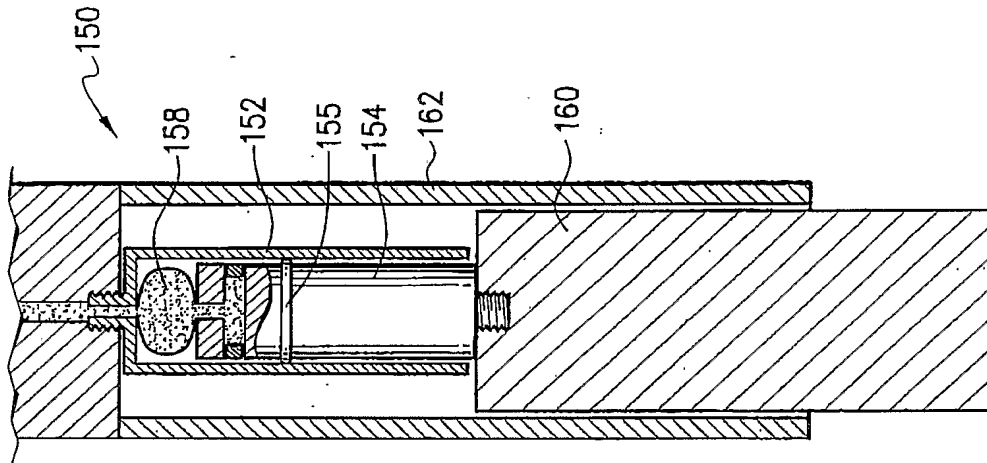


Fig. 10A

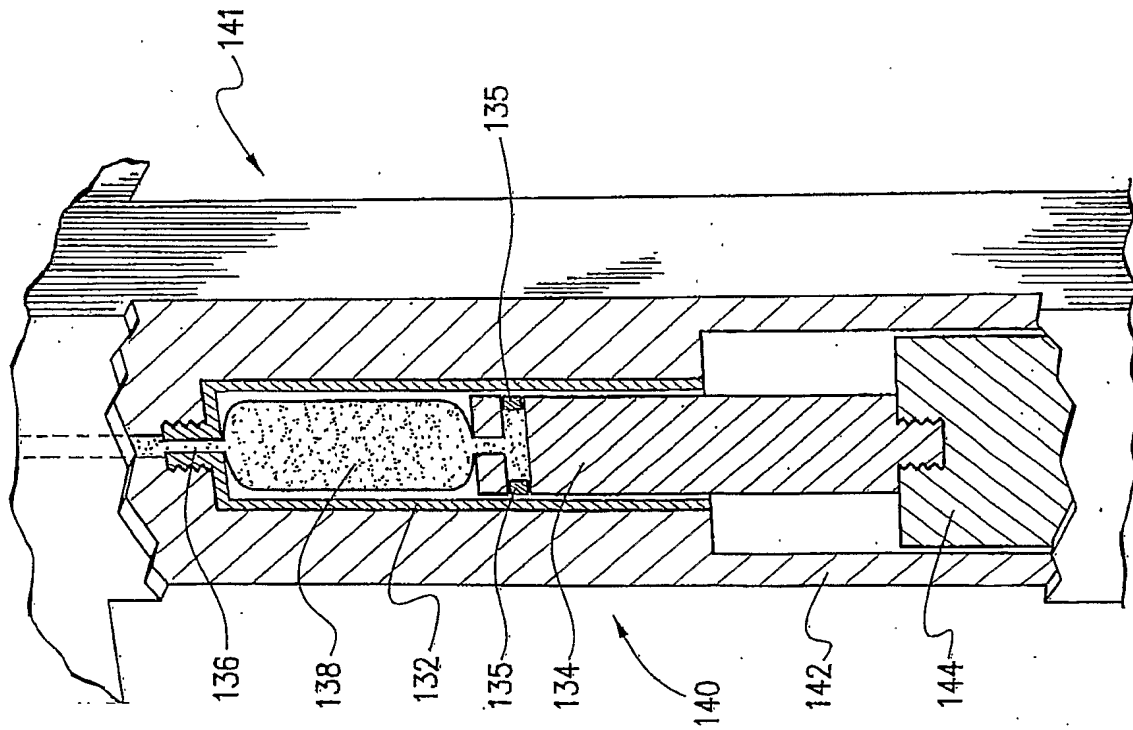


Fig. 9

10/19

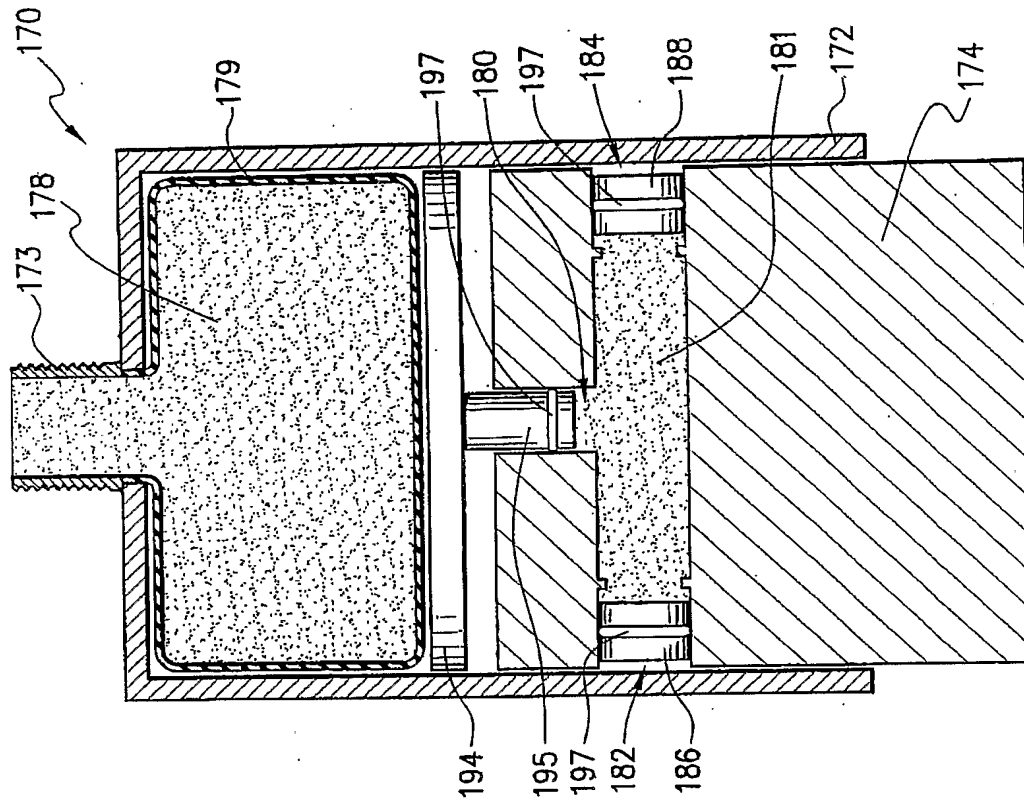


Fig. 11

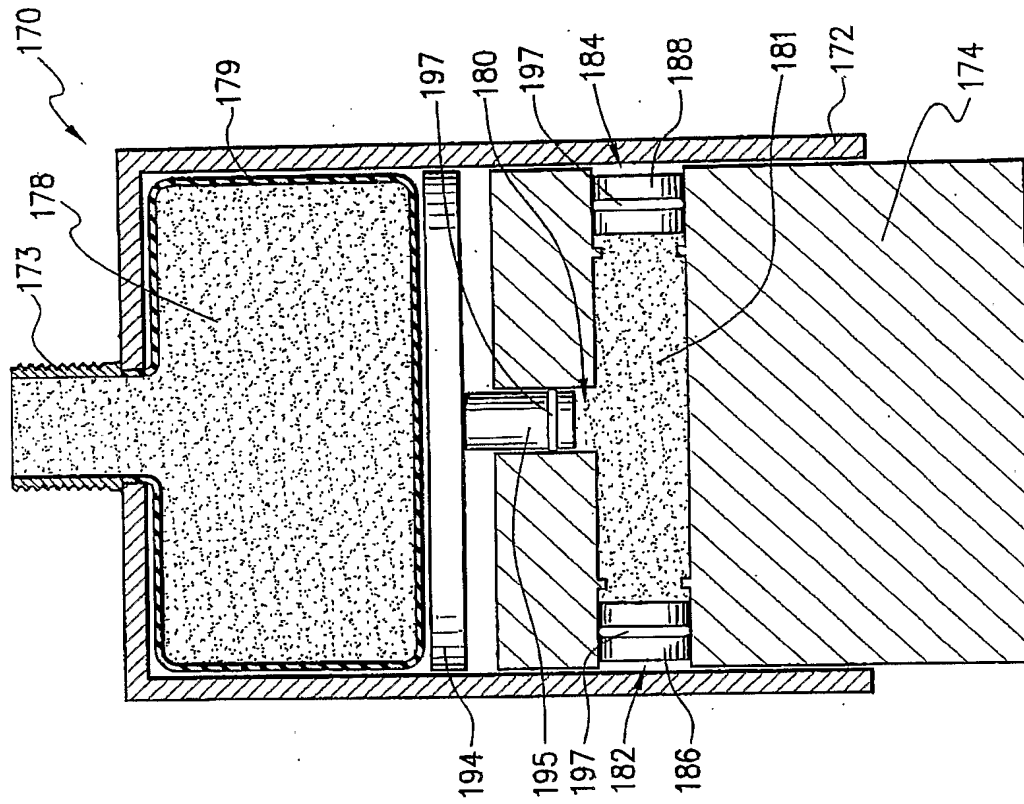


Fig. 12

11/19

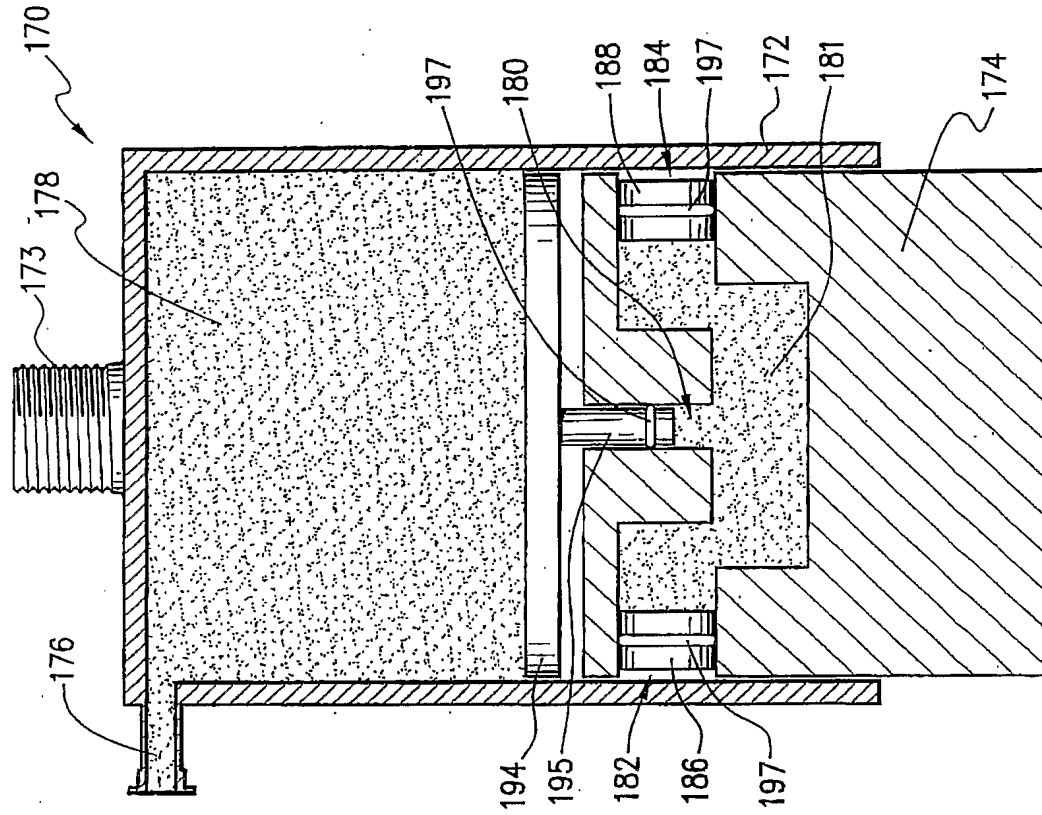


Fig. 14

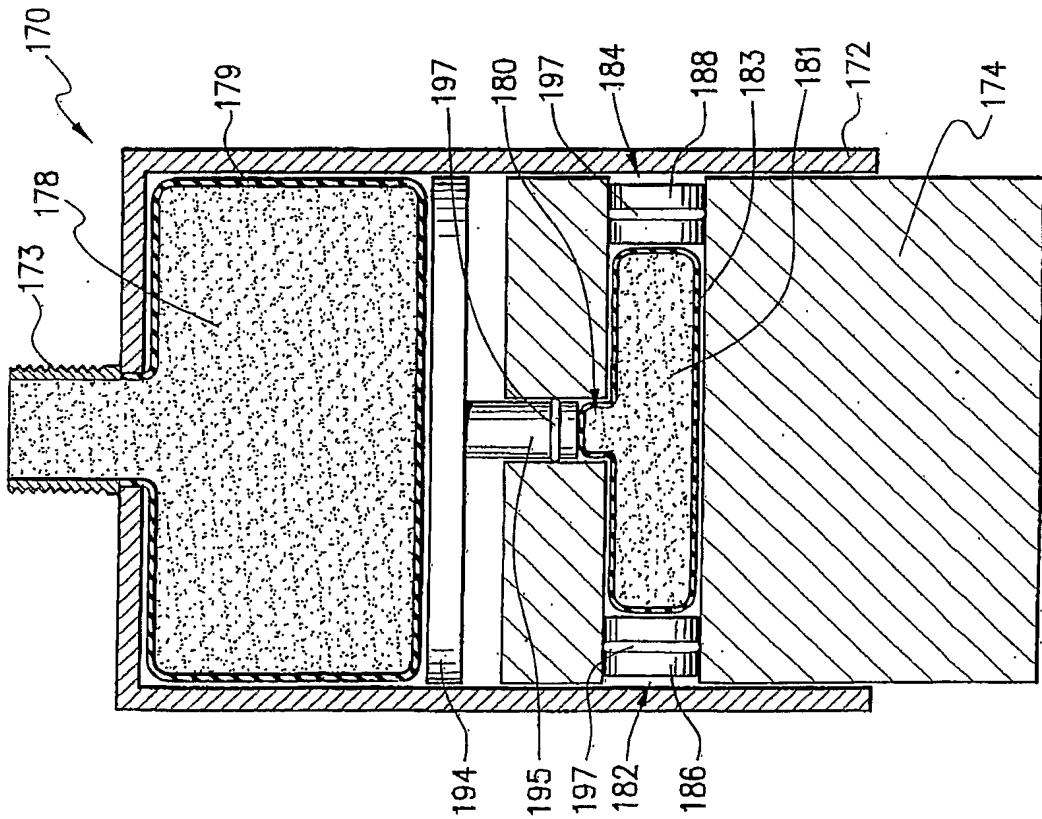


Fig. 13

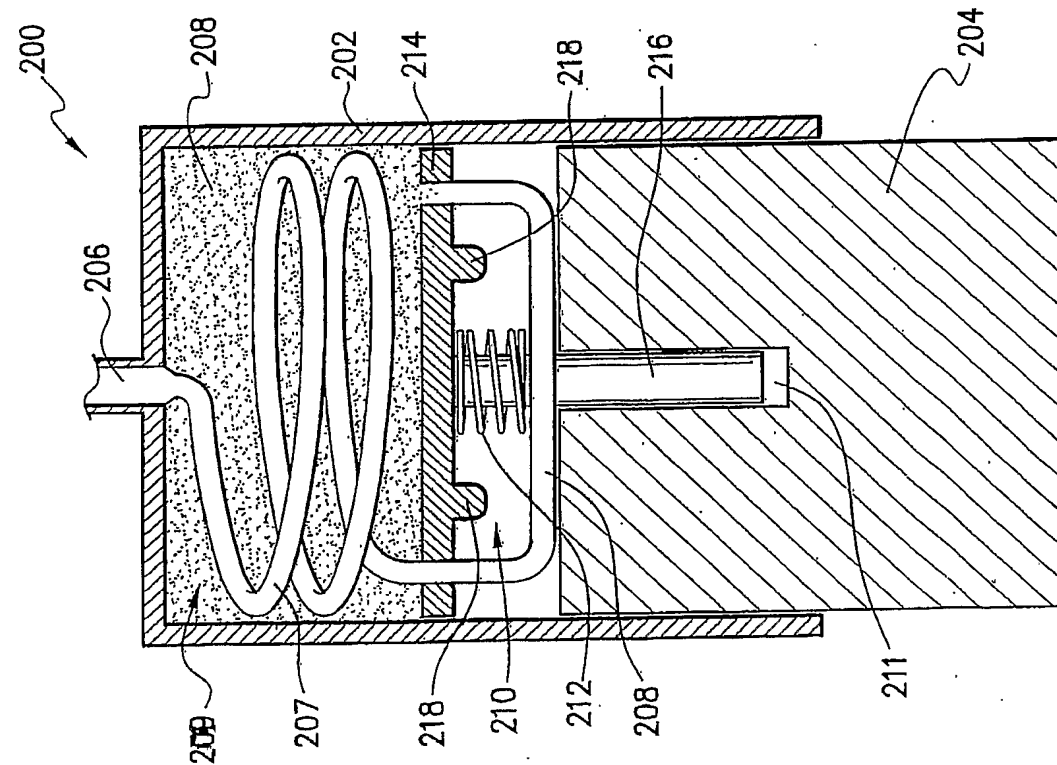


Fig. 15

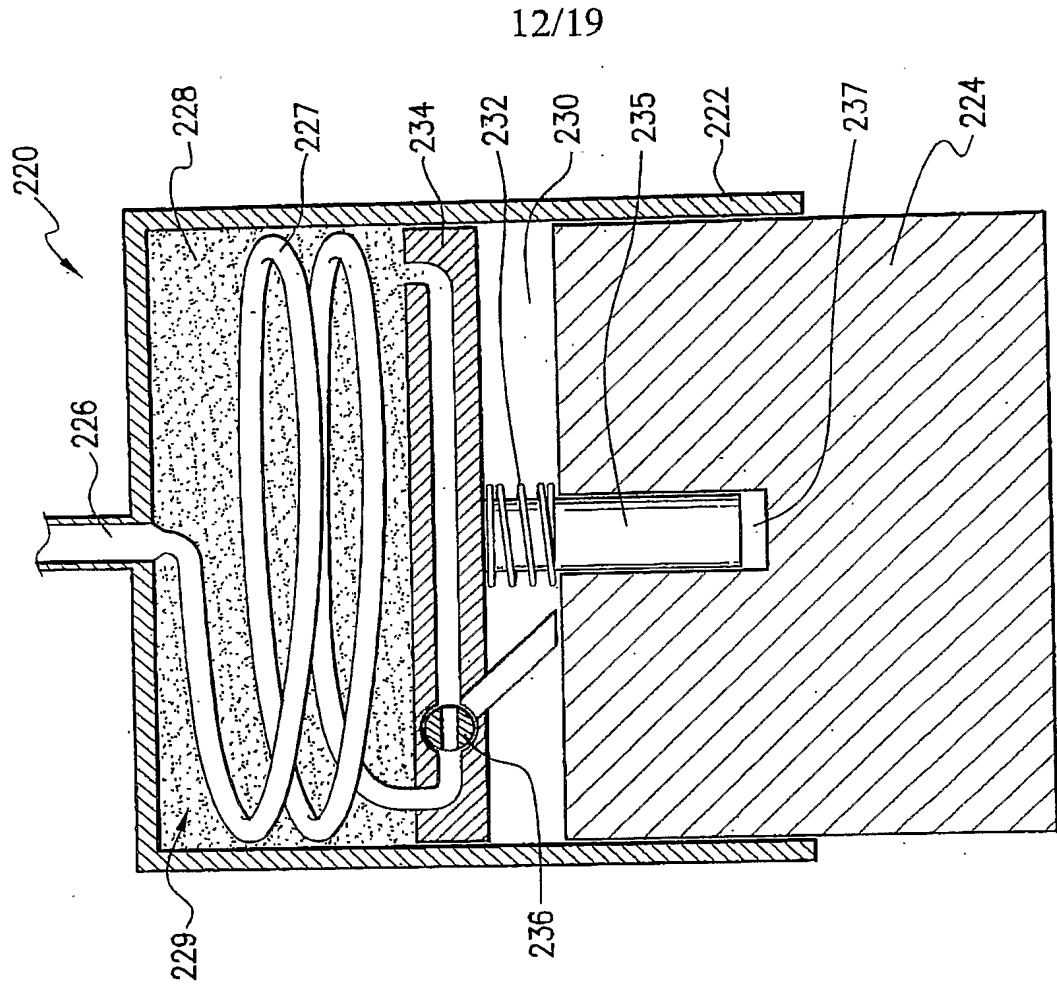


Fig. 16

13/19

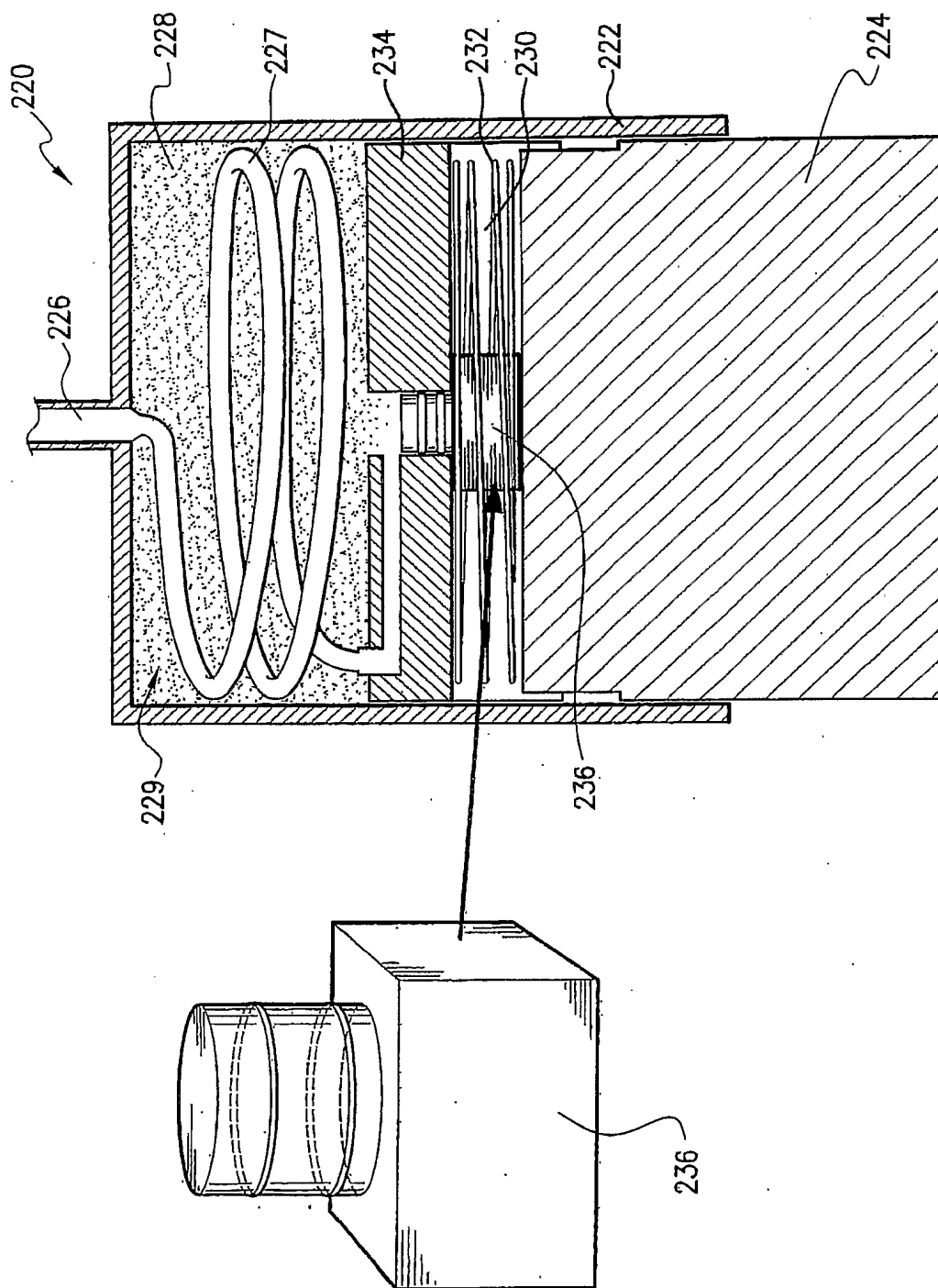


Fig. 17

14/19

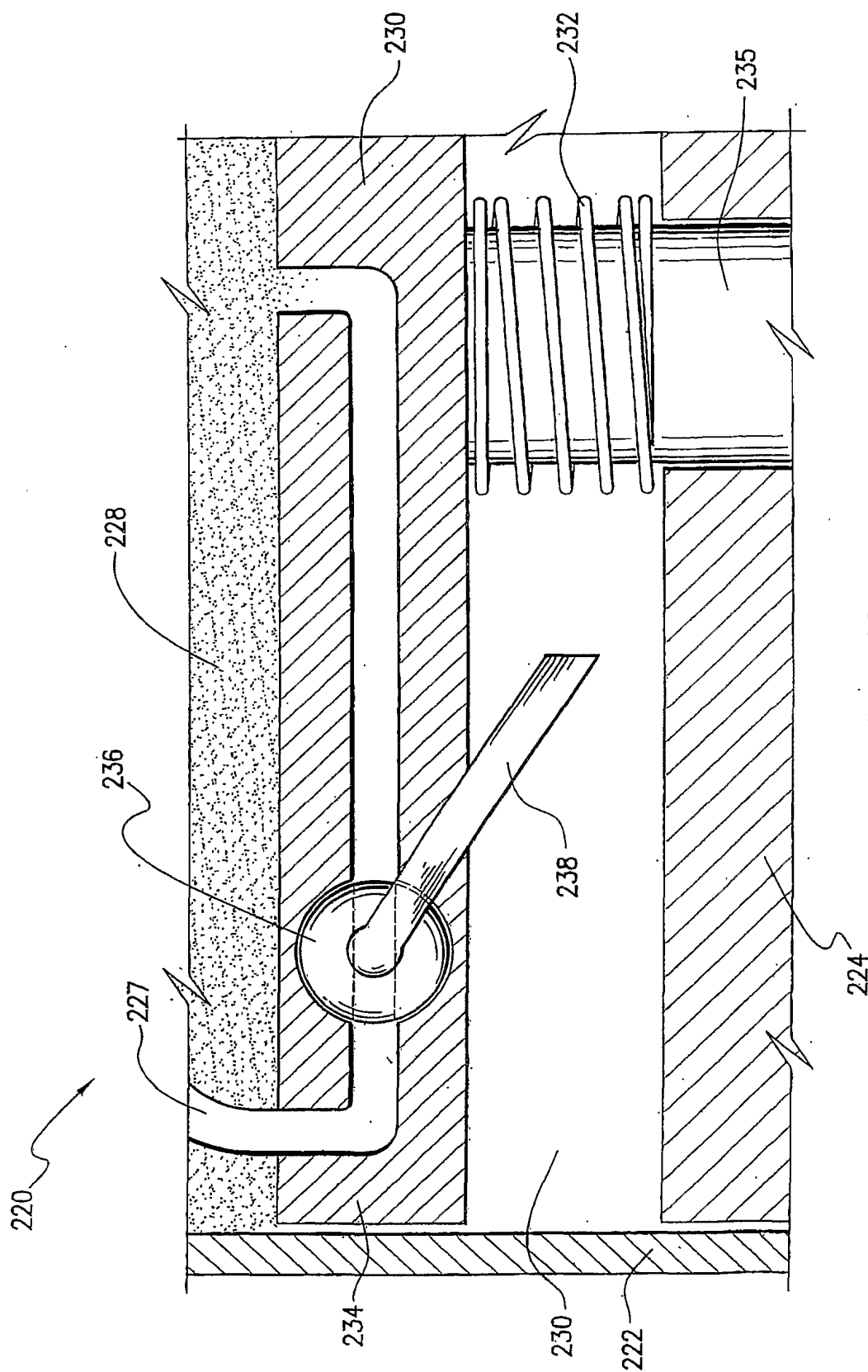


Fig. 18

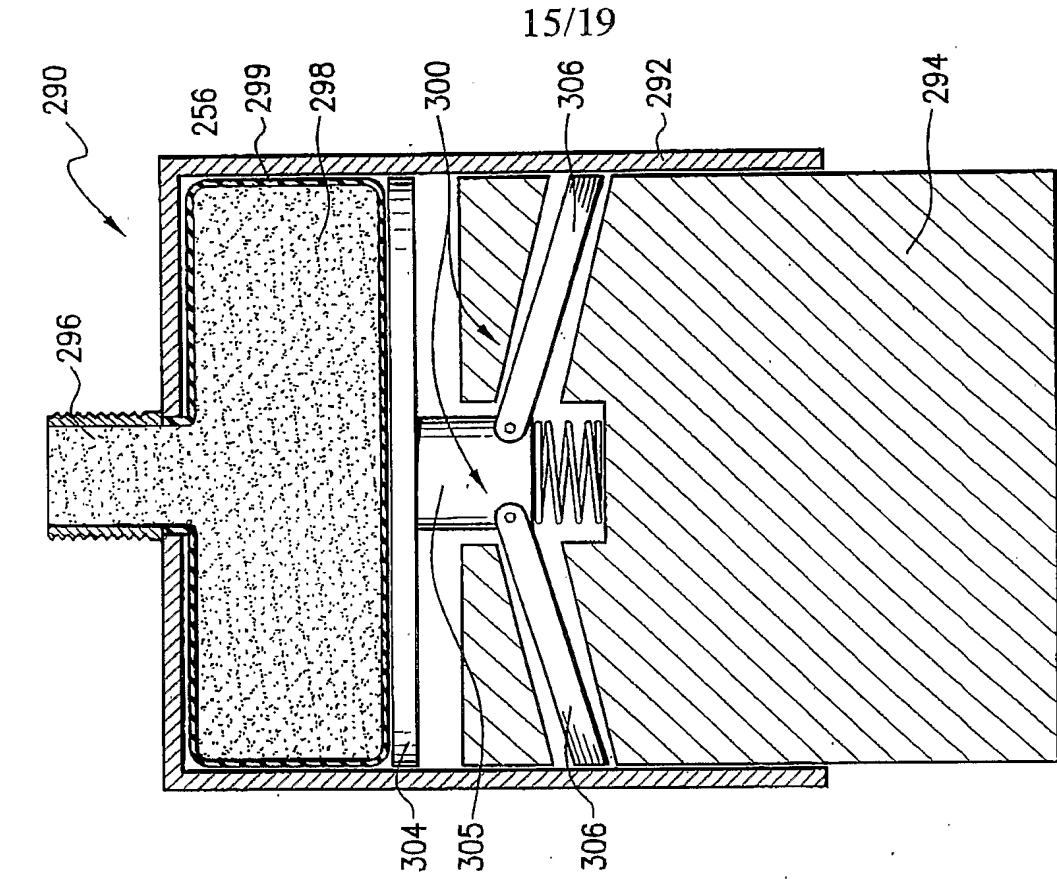


Fig. 19

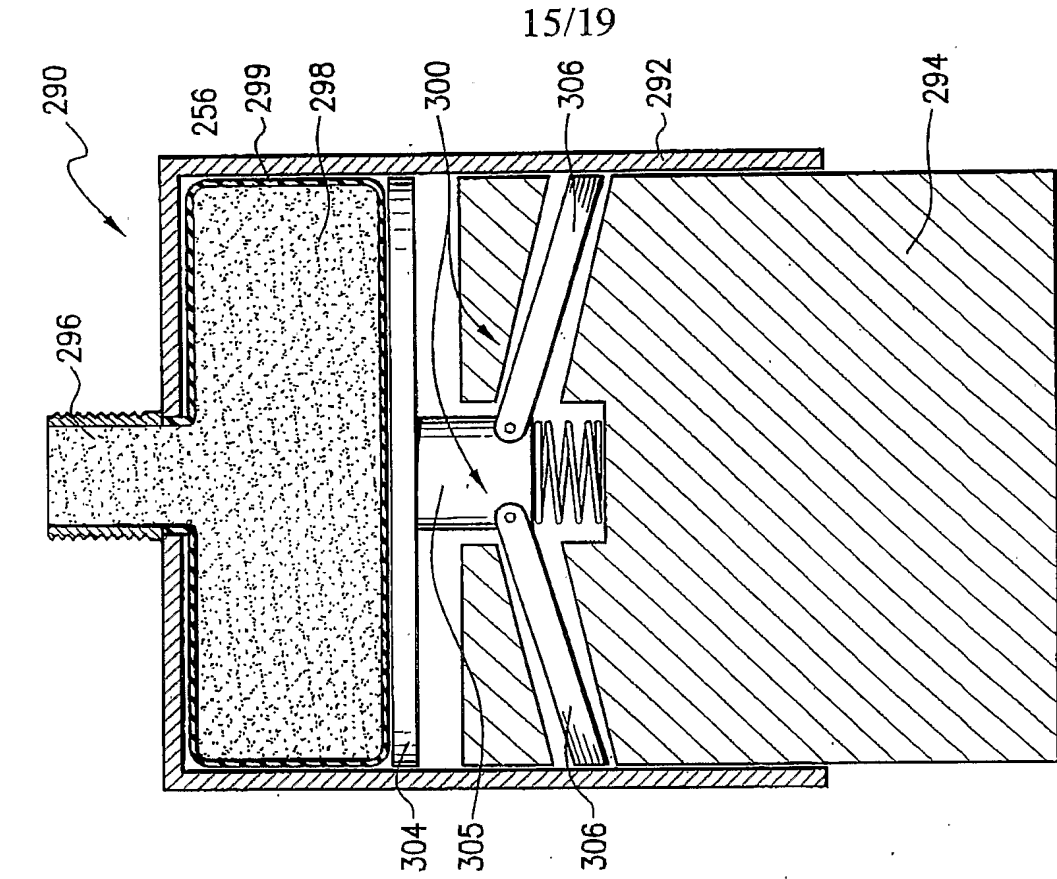


Fig. 20

16/19

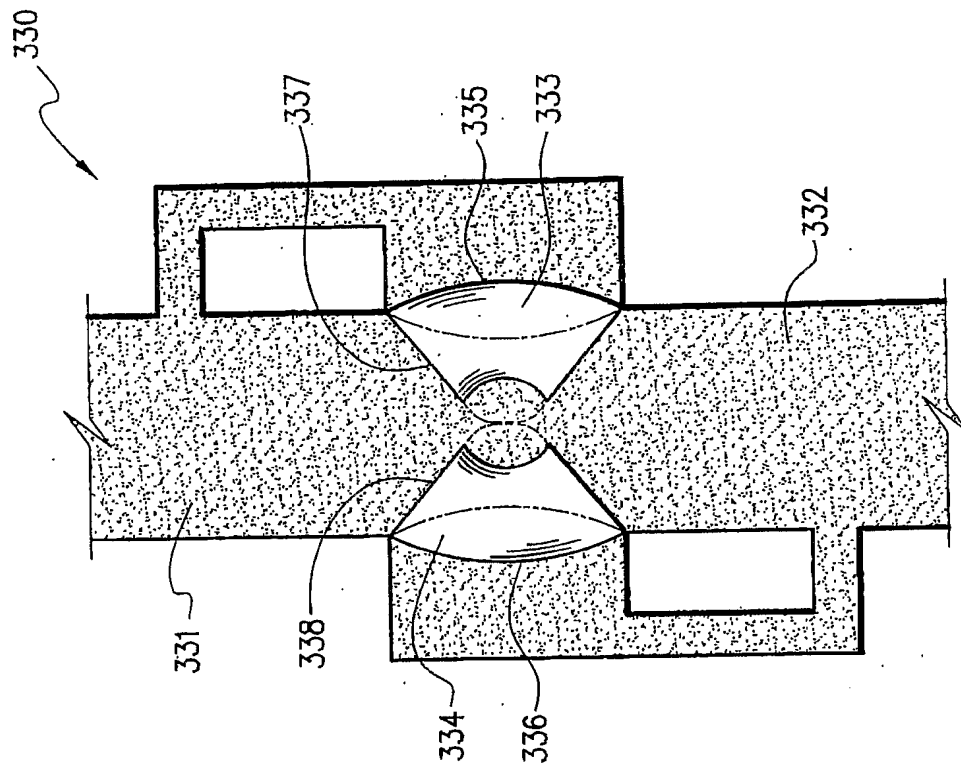


Fig. 22

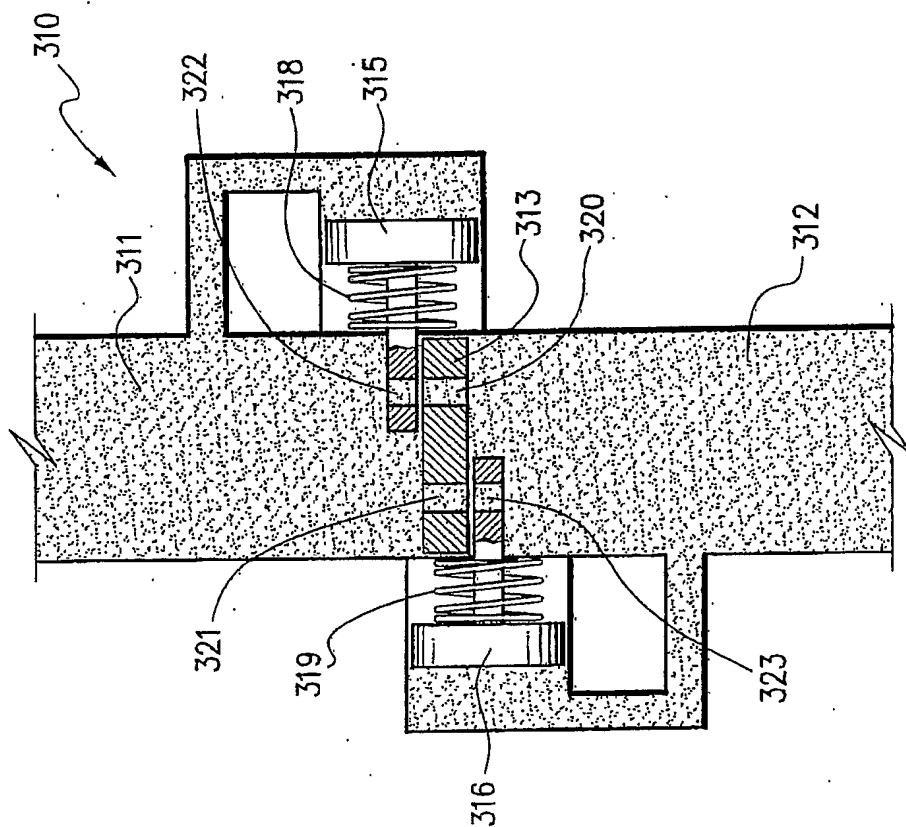


Fig. 21

17/19

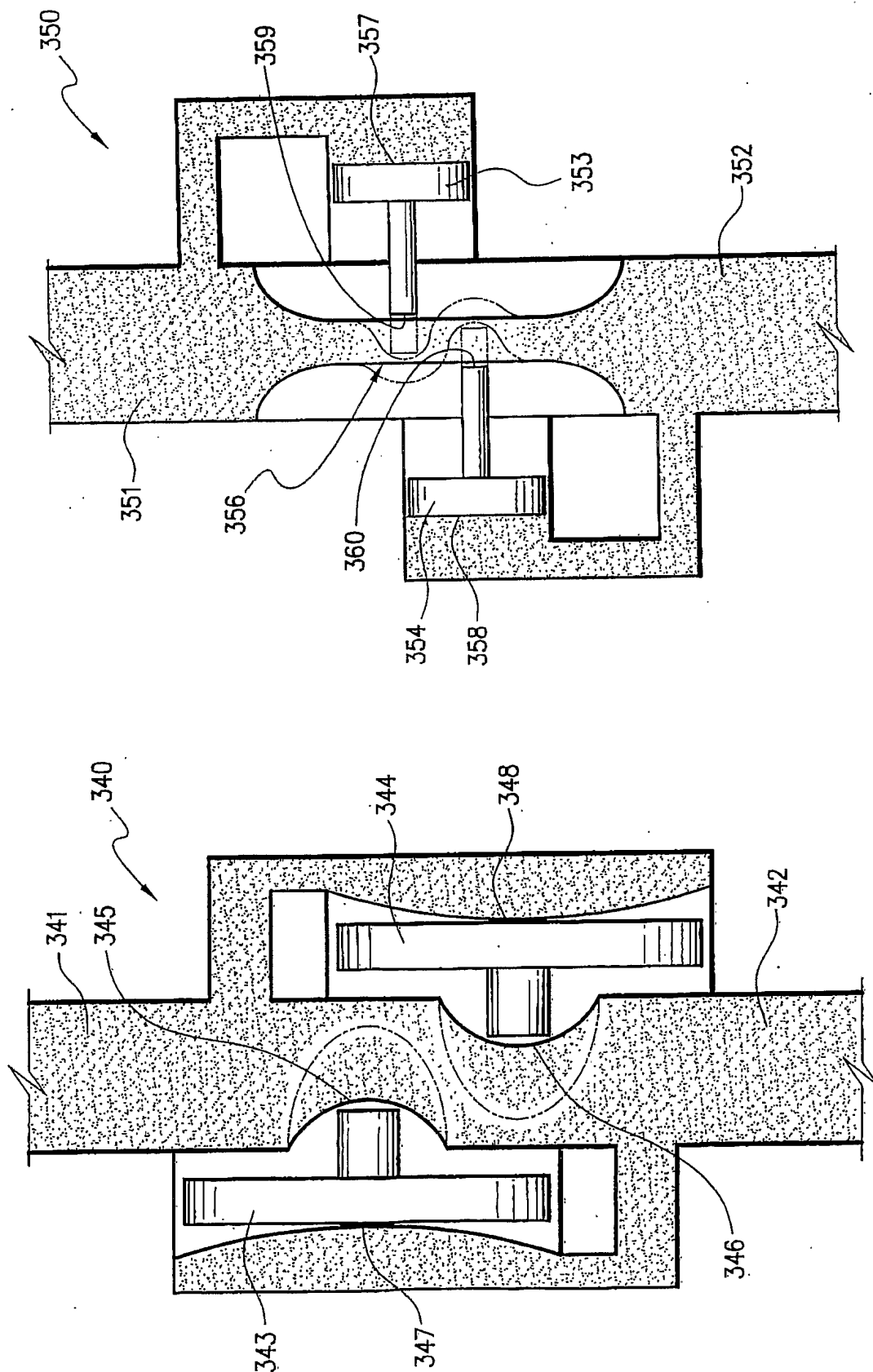


Fig. 24

Fig. 23

18/19

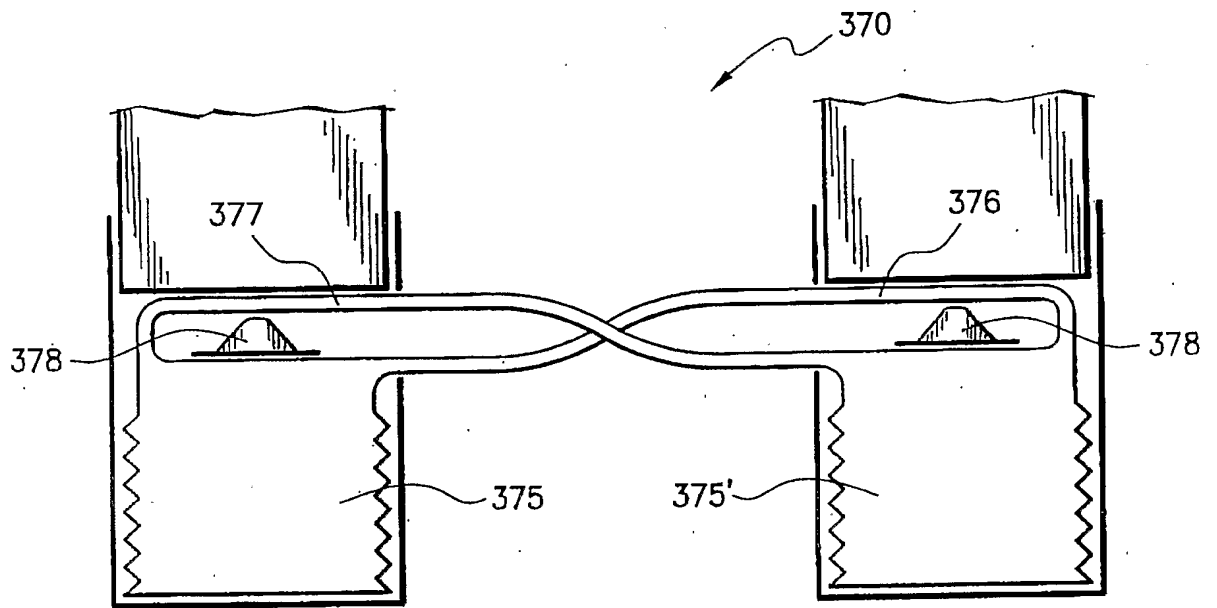


Fig. 25

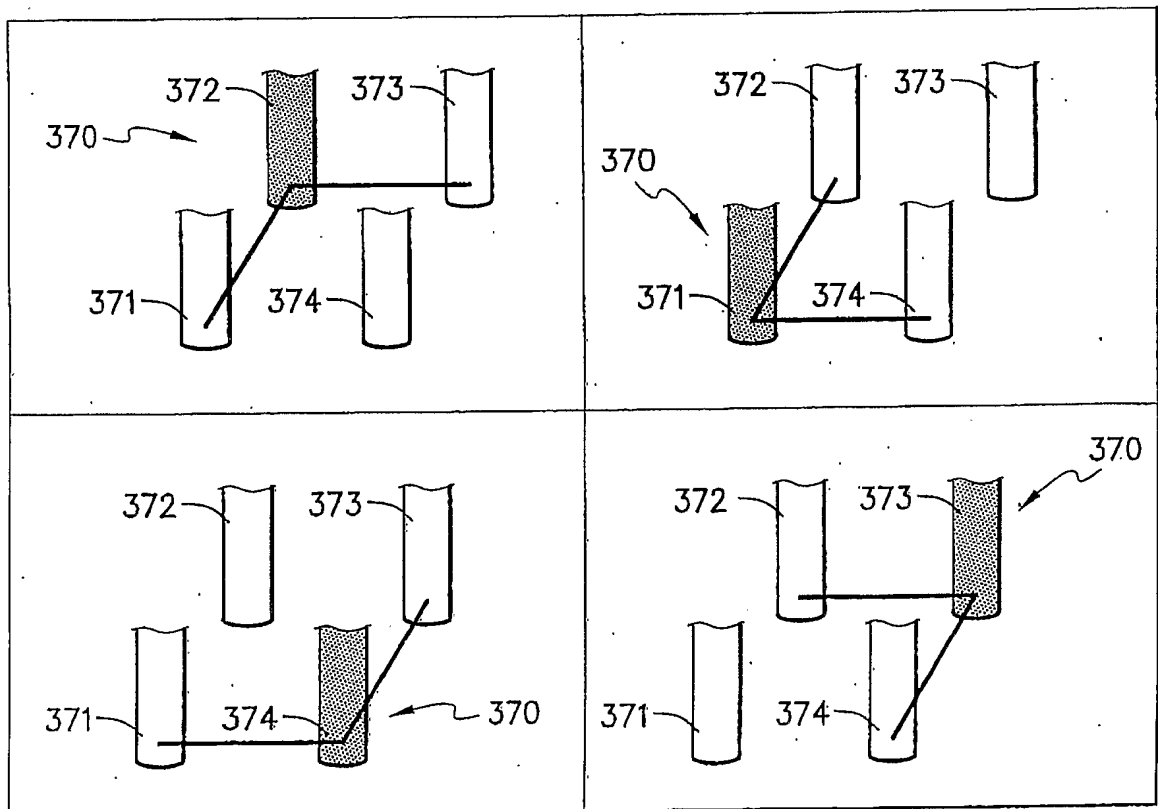


Fig. 26

19/19

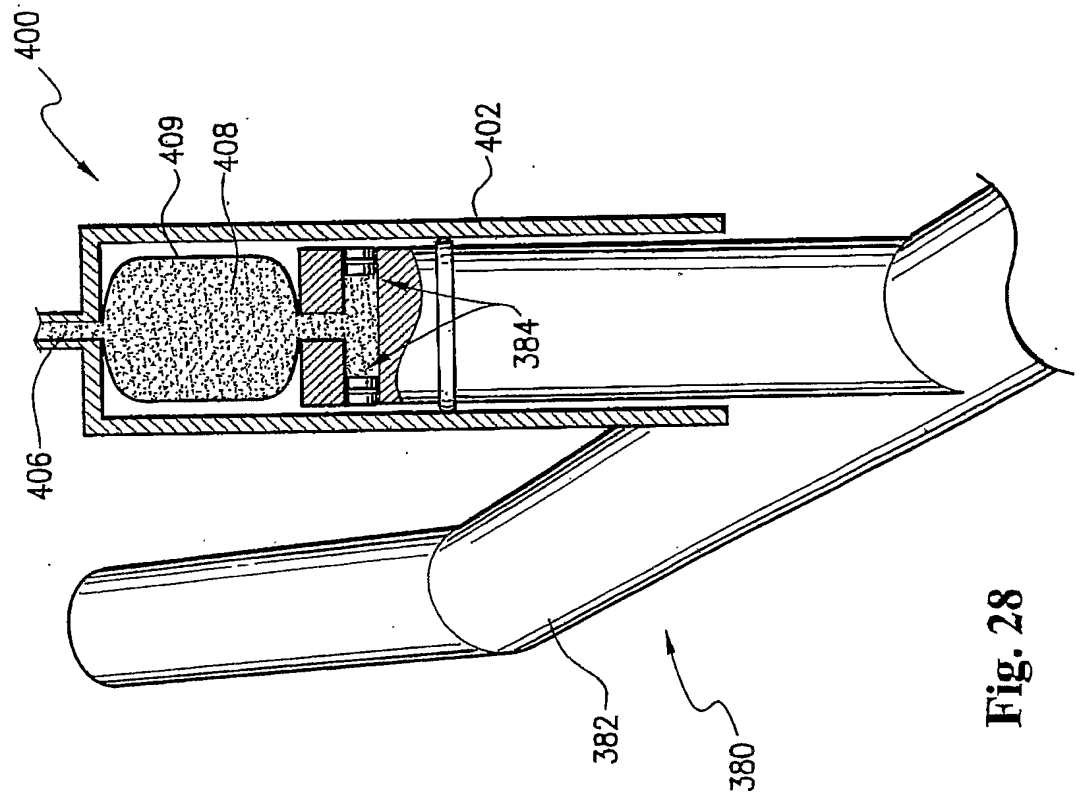


Fig. 28

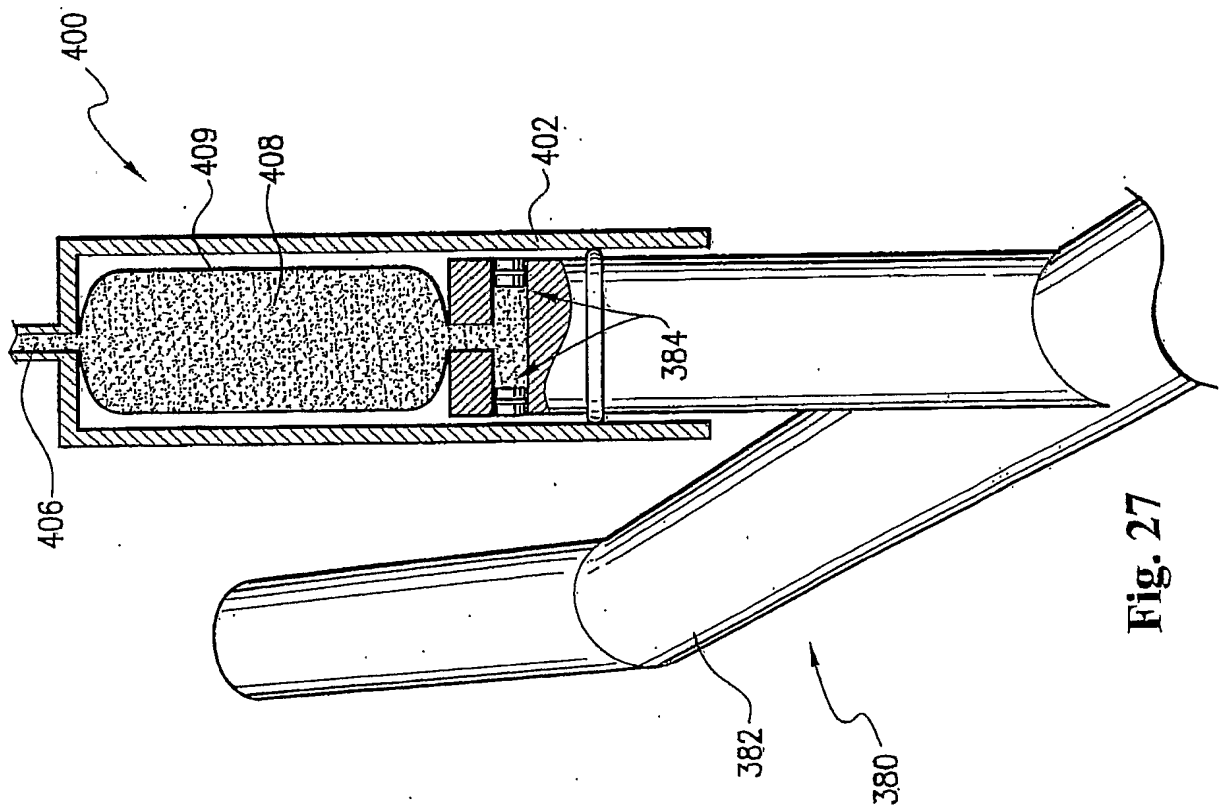


Fig. 27